

УДК 62–50

Н.А. Стрелкова, А.В. Макеева

*Пермский государственный национальный
исследовательский университет*

Россия, 614990, Пермь, ул. Букирева, 15
8 (342) 2-396-409

**МИНИМИЗАЦИЯ ЛИНЕЙНОЙ КОМБИНАЦИИ
ВРЕМЕНИ И РАСХОДА ТОПЛИВА В ЗАДАЧЕ
ОПТИМАЛЬНОЙ ПЕРЕОРИЕНТАЦИИ
СФЕРИЧЕСКИ СИММЕТРИЧНОГО ТВЕРДОГО ТЕЛА
В СОПРОТИВЛЯЮЩЕЙСЯ СРЕДЕ**

Рассматривается задача оптимального управления переориентацией сферически симметричного твердого тела в сопротивляющейся среде, при условии, что вектор управляющего внешнего момента ограничен по модулю. В качестве минимизируемого функционала используется функционал качества, который характеризует в заданной пропорции расход времени и топлива. Для решения задачи применяется принцип максимума Л.С. Понтрягина.

Ключевые слова: оптимальное управление; переориентация; кватернионы; сопротивляющаяся среда.

Постановка задачи

Уравнения управляемого углового движения твердого тела, обладающего сферической симметрией, имеют вид

$$\begin{cases} 2\dot{\lambda} = \lambda \circ \omega, \\ J\dot{\omega} = \mathbf{u} - k\omega, \end{cases} \quad (1)$$

где $\lambda = (\lambda_0, \lambda_1, \lambda_2, \lambda_3)$ – кватернион, компонентами которого являются параметры Родрига–Гамильтона λ_i , \circ – символ кватер-

нионного произведения, $I_1 = I_2 = I_3 = I$ – главные центральные моменты инерции тела, $\boldsymbol{\omega} = (\omega_1, \omega_2, \omega_3)$ – вектор угловой скорости, $\mathbf{u} = (u_1, u_2, u_3)$ – вектор управляющего момента, ω_i, u_i – проекции соответственно $\boldsymbol{\omega}$ и \mathbf{u} на главные центральные оси инерции, k – коэффициент аэродинамического момента сопротивления вращению тела.

Начальное и конечное положения твердого тела заданы и являются состояниями покоя:

$$\boldsymbol{\lambda}(0) = \boldsymbol{\lambda}_0 = (\lambda_{00}, \lambda_{10}, \lambda_{20}, \lambda_{30}), \quad \boldsymbol{\omega}(0) = 0, \quad (2)$$

$$\boldsymbol{\lambda}(T) = \boldsymbol{\lambda}_T = (\pm 1, 0, 0, 0), \quad \boldsymbol{\omega}(T) = 0. \quad (3)$$

На величину управляющего момента наложено ограничение

$$u_1^2 + u_2^2 + u_3^2 \leq u_0^2. \quad (4)$$

Оценка эффективности управления угловым движением твердого тела осуществляется с помощью критерия

$$J = \int_0^T \left(1 + a \sqrt{u_1^2 + u_2^2 + u_3^2} \right) dt, \quad (5)$$

где $a > 0$ и время перехода T не задано.

Требуется найти управляющие функции $u_i(t)$ ($i=1,2,3$), которые при $0 \leq t \leq T$ удовлетворяют уравнениям и граничным условиям (1)–(3), ограничению (4) и доставляют минимум функционалу (5).

В данной постановке, при других критериях качества, задача рассматривалась при $k=0$ в работах [1–3] и при $k \neq 0$ в работах [4, 5].

Построение оптимального решения

Сделаем в (1)–(5) следующую замену переменных и констант:

$$t = \sqrt{\frac{I}{u_0}} t', \quad \boldsymbol{\omega} = \sqrt{\frac{u_0}{I}} \boldsymbol{\omega}', \quad \mathbf{u} = u_0 \mathbf{u}', \quad k = \sqrt{I u_0} k',$$

$$a = \frac{1}{u_0} a', \quad J = \sqrt{\frac{I}{u_0}} J'. \quad (6)$$

В дальнейшем все исследования будем проводить в штрихованных переменных, однако штрихи для удобства записи опустим. Соотношения (1), (4) после замены (6) примут вид

$$\begin{cases} 2\dot{\lambda} = \lambda \circ \omega, \\ \dot{\omega} = \mathbf{u} - k\omega, \end{cases} \quad (7)$$

$$u_1^2 + u_2^2 + u_3^2 \leq 1, \quad (8)$$

а вид граничных условий (2), (3) и выражения (5) не изменится.

Решение задачи будем искать в классе плоских поворотов, при которых вектор угловой скорости ω сохраняет постоянное направление в пространстве:

$$\omega(t) = \dot{x}(t)\zeta. \quad (9)$$

Здесь $\zeta = (\zeta_1, \zeta_2, \zeta_3)$ – постоянный единичный вектор, направленный по оси вращения, x – величина угла поворота. Так же, как и в работе [5], нетрудно показать, что в этом случае исследуемая задача сводится к следующей задаче оптимального управления объектом, движение которого в сопротивляющейся среде описывается линейной системой второго порядка:

$$J = \int_0^T (1 + a|u^*|) dt \rightarrow \min, \quad (10)$$

$$\ddot{x} + k\dot{x} = u^*, \quad |u^*| \leq 1, \quad (11)$$

$$x(0) = x_0 > 0, \quad \dot{x}(0) = 0, \quad x(T) = \dot{x}(T) = 0, \quad (12)$$

где $u^* = u_1\zeta_1 + u_2\zeta_2 + u_3\zeta_3$.

Для решения задачи (10)–(12) воспользуемся принципом максимума Л.С. Понтрягина [6]. Сделаем замену $x = x_1, \dot{x} = x_2$ и преобразуем уравнение (11) к виду

$$\begin{cases} \dot{x}_1 = x_2, \\ \dot{x}_2 = -kx_2 + u^*. \end{cases} \quad (13)$$

Составим функцию Гамильтона–Понтрягина:

$$H = \psi_1 x_2 - \psi_2 kx_2 + \psi_2 u^* - 1 - a|u^*|. \quad (14)$$

Выпишем сопряженную систему дифференциальных уравнений

$$\begin{cases} \dot{\psi}_1 = 0, \\ \dot{\psi}_2 = -\psi_1 + k\psi_2 \end{cases} \quad (15)$$

и найдем ее решение

$$\begin{cases} \psi_1 = d_1, \\ \psi_2 = d_2 e^{kt} + d_1 \frac{1}{k}, \end{cases} \quad (16)$$

где d_1, d_2 – произвольные постоянные. Функция H достигает максимального значения при управлении

$$u^* = \begin{cases} \text{sign } \psi_2(t), & \text{если } |\psi_2(t)| > a, \\ 0, & \text{если } |\psi_2(t)| < a, \\ [-1, 0], & \text{если } \psi_2(t) = -a, \\ [0, 1], & \text{если } \psi_2(t) = a. \end{cases} \quad (17)$$

Так как время T окончания процесса не задано, то максимальное значение функции Гамильтона–Понтрягина H должно удовлетворять условию [7]:

$$H_{\max}(t) = H_{\max}(T) = 0. \quad (18)$$

Если $|\psi_2| = a$, то из соотношений (16), (17) следует $H = -1$, что противоречит условию (18).

Таким образом, учитывая, что функция $\psi_2(t) = d_2 e^{kt} + d_1 \frac{1}{k}$ не более одного раза меняет знак на отрезке $[0, T]$, получаем, что в качестве возможных оптимальных управлений можно рассматривать девять управляющих последовательностей $\{0\}$, $\{-1\}$, $\{+1\}$, $\{0, -1\}$, $\{0, +1\}$, $\{-1, 0\}$, $\{+1, 0\}$, $\{-1, 0, +1\}$, $\{+1, 0, -1\}$. Заданным граничным условиям (12) удовлетворяет лишь последовательность $\{-1, 0, +1\}$.

Оптимальное управление имеет вид:

$$u^* = \begin{cases} -1, & 0 \leq t \leq \tau_1, \\ 0, & \tau_1 \leq t \leq \tau_2, \\ 1, & \tau_2 \leq t \leq T. \end{cases} \quad (19)$$

Подставим (19) в систему (13) и, учитывая граничные условия (12), найдем фазовые координаты x_1, x_2 и моменты переключения оптимального управления τ_1, τ_2 :

$$x_1 = \begin{cases} -\frac{t}{k} - \frac{1}{k^2} e^{-kt} + x_0 + \frac{1}{k^2}, & 0 \leq t \leq \tau_1, \\ -\frac{\tau_1}{k} + x_0 - \frac{1 - e^{k\tau_1}}{k^2} e^{-kt}, & \tau_1 \leq t \leq \tau_2, \\ \frac{t}{k} + \frac{1}{k^2} e^{kT-kt} - \frac{T}{k} - \frac{1}{k^2}, & \tau_2 \leq t \leq T, \end{cases} \quad (20)$$

$$x_2 = \begin{cases} \frac{1}{k} e^{-kt} - \frac{1}{k}, & 0 \leq t \leq \tau_1, \\ \frac{1 - e^{k\tau_1}}{k} e^{-kt}, & \tau_1 \leq t \leq \tau_2, \\ -\frac{1}{k} e^{kT-kt} + \frac{1}{k}, & \tau_2 \leq t \leq T, \end{cases} \quad (21)$$

$$\tau_1 = \frac{1}{k} \ln \frac{1}{2} \left(e^{kT} + 1 - \sqrt{(e^{kT} + 1)^2 - 4e^{kT+k^2x_0}} \right), \quad (22)$$

$$\tau_2 = \frac{1}{k} \ln \frac{1}{2} \left(e^{kT} + 1 + \sqrt{(e^{kT} + 1)^2 - 4e^{kT+k^2x_0}} \right).$$

Для определения времени окончания процесса T воспользуемся условием (18), вычислим H_{\max} при $t = T, 0, \tau_1$. Исключая постоянные d_1, d_2 , приходим к квадратному уравнению

$$(1 - A)y^2 + 2 \left(1 + A - 2e^{k^2x_0} \right) y + 1 - A = 0, \quad (23)$$

где введены обозначения $e^{kT} = y, \left(\frac{a}{1+a} \right)^2 = A$. Отбрасывая отрицательный корень, получаем

$$T = \frac{2}{k} \ln \left(\frac{\sqrt{1 - Ae^{-k^2x_0}} + \sqrt{1 - e^{-k^2x_0}}}{\sqrt{1 - A}} \right) + kx_0. \quad (24)$$

Отметим, что при $a=0$ время перехода T совпадает с временем $T_{\min} = \frac{2}{k} \ln \left[1 + \sqrt{1 - e^{-k^2 x_0}} \right] + kx_0$ в задаче об оптимальном по быстродействию управлении объектом [5], движение которого описывается соотношениями (11)–(12); в этом случае $\tau_1 = \tau_2 = \frac{1}{2}(T + kx_0)$.

Учитывая выражения (10), (22) вычислим минимальное значение функционала

$$\begin{aligned}
 J_{\min} &= T + a(T + \tau_1 - \tau_2) = \\
 &= \frac{a}{k} \ln \left(\frac{e^{kT} + 1 - \sqrt{(e^{kT} + 1)^2 - 4e^{kT+k^2x_0}}}{e^{kT} + 1 + \sqrt{(e^{kT} + 1)^2 - 4e^{kT+k^2x_0}}} \right) + (1+a)T. \quad (25)
 \end{aligned}$$

На рис. 1 изображены графики зависимостей от коэффициента сопротивления k времени движений с $u^* = -1$, $u^* = 0$, $u^* = +1$ при фиксированных значениях $a = 0.5$, $x_0 = 2.532$;

а на рис. 2 изображены графики зависимостей от параметра a времени движений с $u^* = -1$, $u^* = 0$, $u^* = +1$ при фиксированных значениях $k = 0.1$, $x_0 = 2.532$.

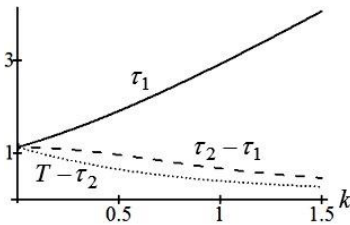


Рис. 1

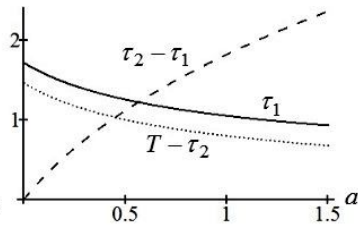


Рис. 2

На рис. 3 представлены графики зависимостей времени T окончания процесса, значений функционалов $I = \int_0^T |u^*| dt$ и J_{\min} от коэффициента сопротивления k при фиксированных значениях $a = 0.5$, $x_0 = 2.532$.

На рис. 4 представлены графики зависимостей времени T окончания процесса, значений функционалов I и J_{\min} от параметра a при фиксированных значениях $k = 0.1$, $x_0 = 2.532$.

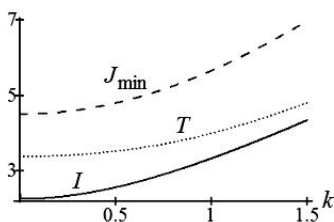


Рис. 3

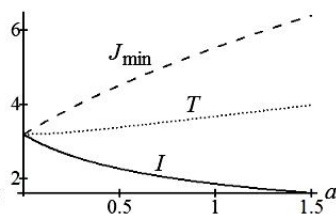


Рис. 4

На рис. 5 изображены фазовые траектории при различных значениях параметра a ($a = 0.5; 1.5; 2.5$) и фиксированных значениях $k = 0.1$, $x_0 = 2.532$.

Из графиков следует, что с увеличением параметра a уменьшается максимальное значение $|\dot{x}|$, увеличивается промежуток $[x(\tau_1), x(\tau_2)]$ и, соответственно, уменьшаются промежутки $[x(0), x(\tau_1)]$ и $[x(\tau_2), x(T)]$.

На рис. 6 изображены фазовые траектории при различных значениях коэффициента сопротивления k ($k = 0.1; 0.5; 1.0$) и фиксированных значениях $a = 0.5$, $x_0 = 2.532$.

С увеличением параметра k увеличивается промежуток $[x(0), x(\tau_1)]$ и, соответственно, уменьшаются промежутки $[x(\tau_1), x(\tau_2)]$ и $[x(\tau_2), x(T)]$.

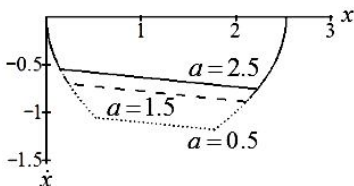


Рис. 5

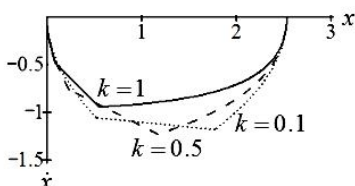


Рис. 6

Аналогичный вид имеют данные графики при других значениях констант a , k и начальных значениях x_0 .

Используя соотношения (9), (19), (21), найдем вектор угловой скорости

$$\omega = \begin{cases} \frac{e^{-kt} - 1}{k} \zeta, & 0 \leq t \leq \tau_1, \\ \frac{1 - e^{k\tau_1}}{k} e^{-kt} \zeta, & \tau_1 \leq t \leq \tau_2, \\ \frac{1 - e^{k(T-t)}}{k} \zeta, & \tau_2 \leq t \leq T, \end{cases} \quad (26)$$

управляющий момент

$$u = \begin{cases} -\zeta, & 0 \leq t \leq \tau_1, \\ 0, & \tau_1 \leq t \leq \tau_2, \\ +\zeta, & \tau_2 \leq t \leq T \end{cases} \quad (27)$$

и решение кинематических уравнений системы (7)

$$\lambda = \lambda_0 \circ \exp \left\{ \frac{1}{2} (x - x_0) \zeta \right\}, \quad (28)$$

где функция $x = x(t) = x_1(t)$ определяется равенством (20).

Неизвестную постоянную x_0 и компоненты единичного вектора ζ найдем из граничных условий (2), (3) и равенства (25), выбирая из двух значений функционала наименьшее. Тогда

$$x_0 = 2 \arccos |\lambda_{00}|, \quad (29)$$

$$\zeta_i = \begin{cases} + \frac{\lambda_{i0}}{\sqrt{1-\lambda_{00}^2}}, & \text{если } \lambda_{00} \geq 0, \\ - \frac{\lambda_{i0}}{\sqrt{1-\lambda_{00}^2}} & \text{если } \lambda_{00} \leq 0, \quad i = \overline{1,3}. \end{cases} \quad (30)$$

Покажем, что полученные соотношения (26)–(30), определяющие плоский разворот твердого тела из начального положения (2) в конечное (3), удовлетворяют необходимым условиям принципа максимума Л.С. Понтрягина для исходной задачи оптимального управления.

Так же, как и в работе [1], введем в рассмотрение кватернионы ψ и ϕ сопряженных переменных, в которых компоненты ψ_i ($i = 0, 1, 2, 3$), соответствуют параметрам λ_i , а ϕ_j ($j = 1, 2, 3$) – переменным ω_j , и введем обозначение $\mathbf{p} = \text{vect}(\tilde{\lambda} \circ \psi)$.

Тогда функция Гамильтона–Понтрягина и сопряженные уравнения для системы (7) примут вид

$$H = -\frac{1}{2}\psi_0(\lambda_1\omega_1 + \lambda_2\omega_2 + \lambda_3\omega_3) + \frac{1}{2}\psi_1(\lambda_0\omega_1 + \lambda_2\omega_3 - \lambda_3\omega_2) + \\ + \frac{1}{2}\psi_2(\lambda_0\omega_2 + \lambda_3\omega_1 - \lambda_1\omega_3) + \frac{1}{2}\psi_3(\lambda_0\omega_3 + \lambda_1\omega_2 - \lambda_2\omega_1) + \\ + \varphi_1(u_1 - k\omega_1) + \varphi_2(u_2 - k\omega_2) + \varphi_3(u_3 - k\omega_3) - 1 - a\sqrt{u_1^2 + u_2^2 + u_3^2},$$

$$\begin{cases} 2\dot{\psi} = \psi \circ \omega, \\ \dot{\phi} = k\phi - \frac{1}{2}\mathbf{p}. \end{cases}$$

Из условия максимума функции Гамильтона–Понтрягина следует, что

$$\mathbf{u} = \frac{\Phi}{|\Phi|},$$

если $|\Phi| > 1$, и $\mathbf{u} = 0$, если данное неравенство нарушается. Кроме того, так как время T окончания процесса не задано, то

$$H_{\max}(t) = H_{\max}(T) = 0.$$

Непосредственной проверкой нетрудно убедиться в том, что необходимым условиям принципа максимума Понтрягина удовлетворяют найденные по формулам (24), (26)–(28) функции $\mathbf{u}(t)$, $\boldsymbol{\omega}(t)$, $\boldsymbol{\lambda}(t)$, время T окончания процесса и функции $\boldsymbol{\psi}(t)$, $\boldsymbol{\varphi}(t)$, $\mathbf{p}(t)$ следующего вида

$$\mathbf{p} = p_0 \boldsymbol{\zeta}, \quad \boldsymbol{\psi} = \boldsymbol{\lambda}_0 \circ p_0 \boldsymbol{\zeta} \circ \exp\left\{\frac{1}{2}(x - x_0)\boldsymbol{\zeta}\right\},$$

$$\boldsymbol{\varphi} = \frac{p_0}{2k} \left(1 - \frac{2e^{kt}}{e^{k\tau_1} + e^{k\tau_2}}\right) \boldsymbol{\zeta},$$

где $p_0 = 2k \left(\frac{e^{k\tau_1} + e^{k\tau_2}}{e^{k\tau_1} - e^{k\tau_2}}\right)$, а x_0 , $\boldsymbol{\zeta}$, τ_1 и τ_2 вычисляются соответственно по формулам (29), (30), (22).

Пример

Рассмотрим оптимальную переориентацию твердого тела из начального состояния $\boldsymbol{\lambda}(0) = (0.3, 0.4, 0.5, 0.707)$, $\boldsymbol{\omega}(0) = 0$ в конечное положение (3), минимизирующую функционал (5).

При $k = 0.5$ и $a = 1.5$ время разворота T и моменты переключения управления соответственно равны

$$T = 3.999, \tau_1 = 1.646, \tau_2 = 3.619,$$

угол поворота твердого тела за время T равен $x_0 = 2.532$ рад, минимальное значение функционала качества $J_{\min} = 7.037$.

На рис. 7–8 представлены графики зависимости компонент кватерниона λ и компонент вектора угловой скорости ω от времени.

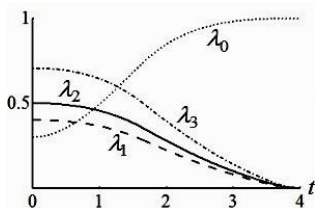


Рис. 7

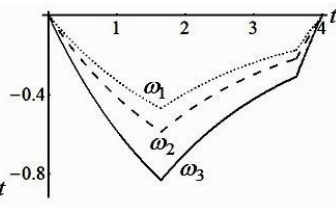


Рис. 8

Заключение

Получено аналитическое решение рассматриваемой задачи оптимального управления пространственной переориентацией сферически симметричного твердого тела в сопротивляющейся среде: с использованием принципа максимума Л.С. Понтрягина найдены оптимальное управление, время окончания процесса, моменты переключения оптимального управления, фазовые координаты, минимальное значение функционала.

Библиографический список

1. Бранец В.Н., Шмыглевский И.П. Применение кватернионов в задачах ориентации твердого тела. М.: Наука, 1973. 320 с.
2. Молоденков А.В. Кватернионное решение задачи оптимального разворота твердого тела со сферическим распределением масс // Проблемы механики и управления: Нелинейные динамические системы: межвуз. сб. науч. тр. Пермь: Изд-во Перм. ун-та, 1995. Вып. 27. С. 122–131.
3. Сиротин А.Н. Об оптимальной по быстродействию пространственной переориентации в положение покоя вращающегося сферически-симметричного твердого тела // Известия РАН. МГТ. 1997. № 3. С. 18–27.

4. *Стрелкова Н.А.* Оптимальная по расходу топлива переориентация сферически симметричного твердого тела в сопротивляющейся среде // Проблемы механики и управления: Нелинейные динамические системы: межвуз. сб. науч. тр. Пермь: Изд-во Перм. ун-та, 2012. Вып. 44. С. 115–125.

5. *Стрелкова Н.А.* Оптимальная переориентация сферически симметричного твердого тела в сопротивляющейся среде // VI-е Поляховские чтения: Избр. тр. междунар. науч. конф. по механике, Санкт-Петербург, 31 января–3 февраля 2012 г. М.: Изд. И.В. Балабанов, 2012. С. 75–79.

6. *Понтрягин Л.С., Болтянский В.Г., Гамкрелидзе Р.В., Мищенко Е.Ф.* Математическая теория оптимальных процессов. М.: Наука, 1976. 392 с.

7. *Атанс М., Фалб П.* Оптимальное управление. М.: Машиностроение, 1968. 764 с.